

2007-09-25

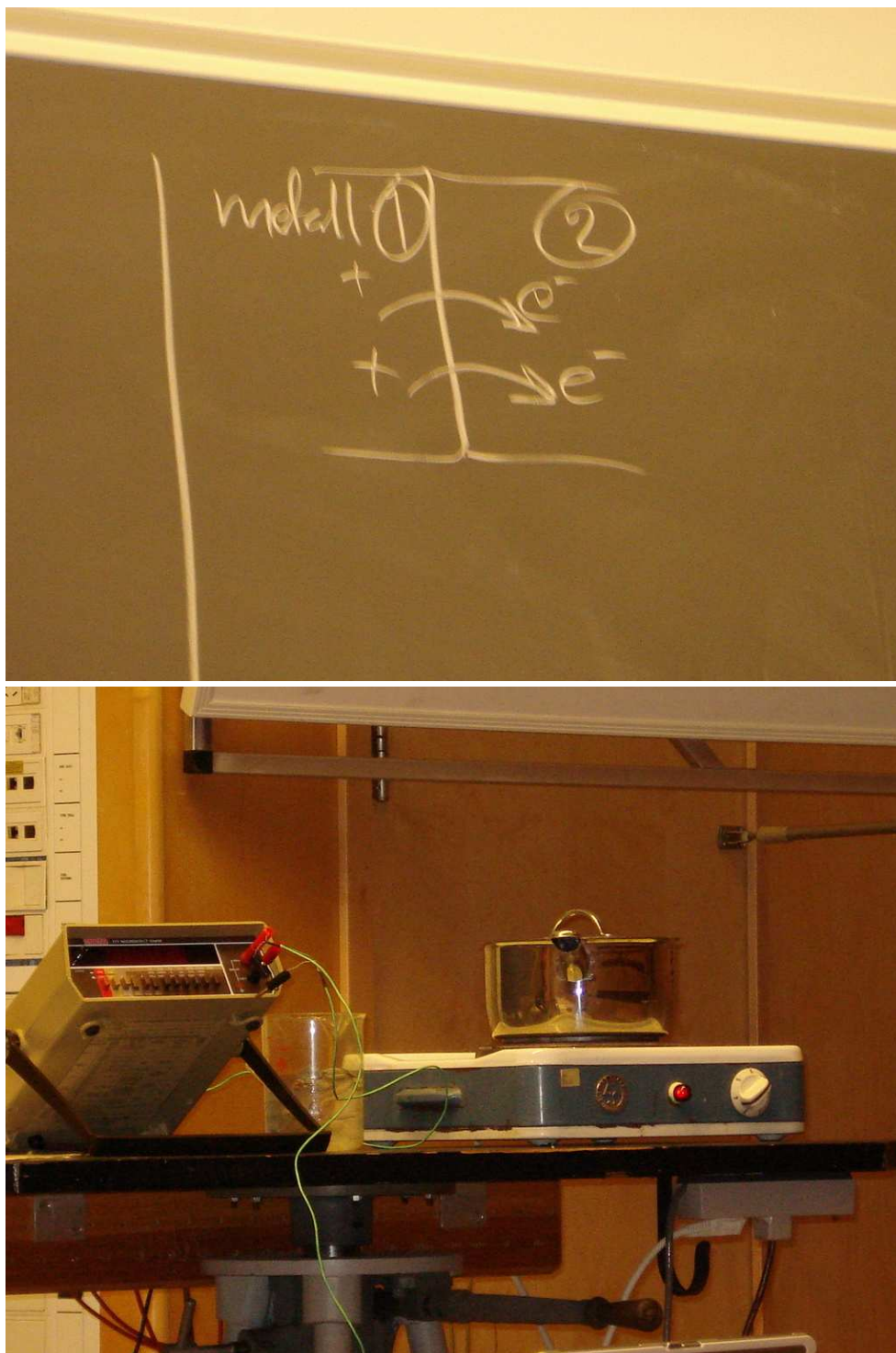
Termodynamik

0. Termisk jämvikt.
 1. Energiprincipen.
 2. Entropi. $\Delta S \geq 0$.
 3. Ren kristalin substans: $T = 0 \Rightarrow S = 0$.
- Energiomvandlingsprocesser

Temperaturmätningar

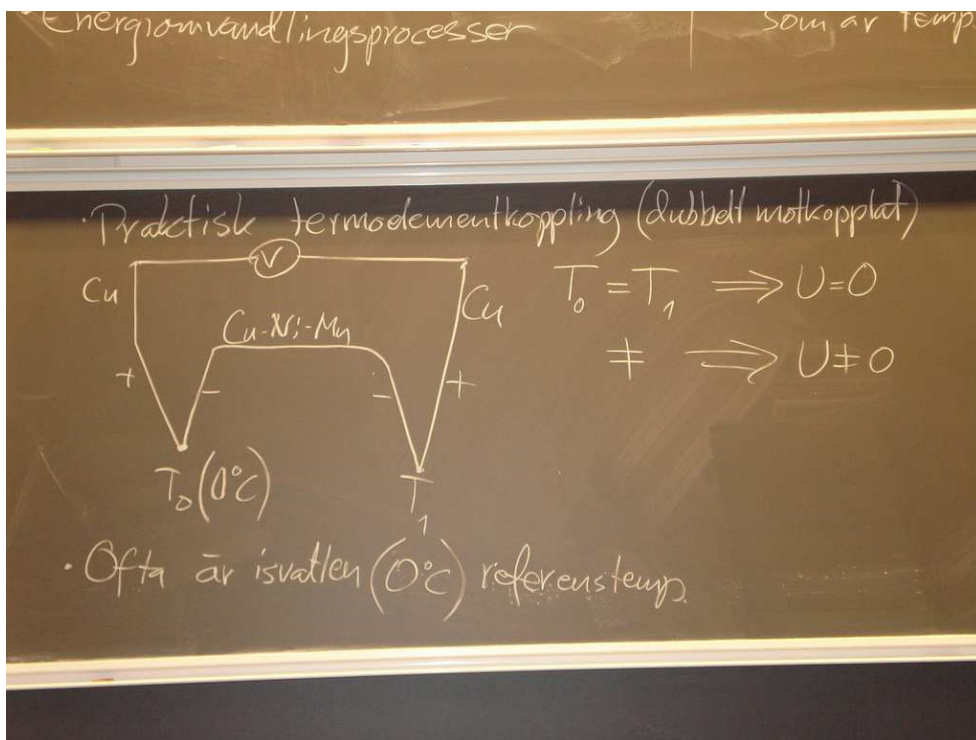
- Termoelementtekniken. (Seebeck-effekten).

Över en kontaktyta mellan två olika metaller uppstår en spänning (emk) som är temperaturberoende ($\sim 10 - 50 \mu\text{V/K}$). (fig1)



Figur 1.

Praktisk termoelementkoppling (dubbelt motkopplat). (fig2)



Figur 2.

$$T_0 = T_1 \Rightarrow U = 0.$$

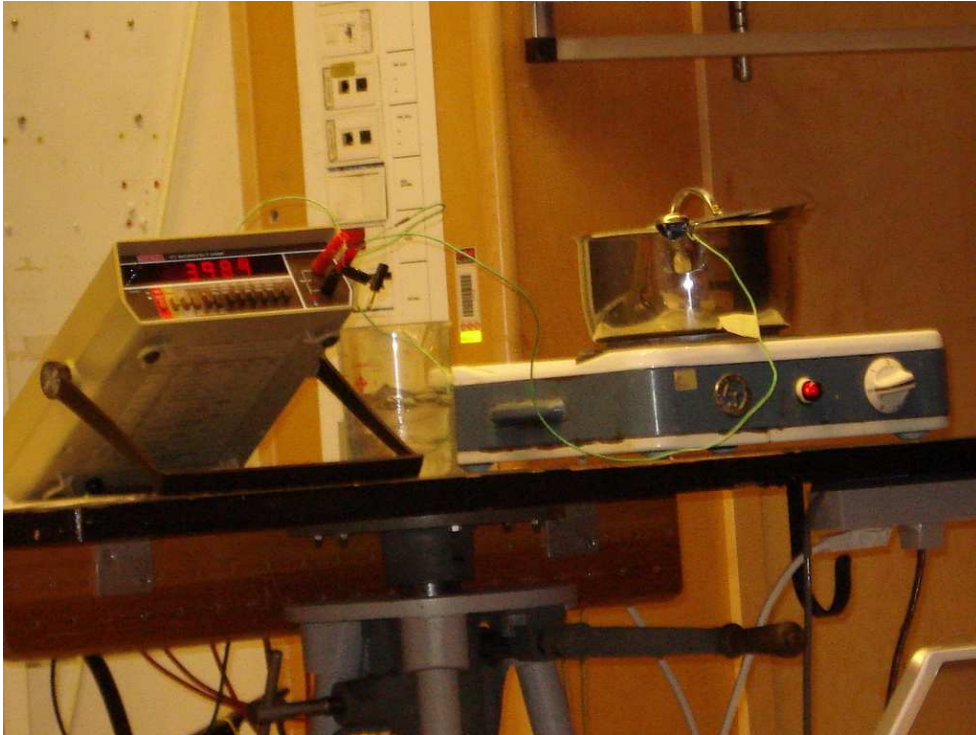
$$T_0 \neq T_1 \Rightarrow U \neq 0.$$

Ofta är isvatten (0°C) referenstemperatur.

Samtliga uppgifter berör termoelement. Typ K (Chromel-Alumel).

Nickel-Chromium vs. Nickel-Aluminum
 TYPE K
 Reference Tables
 N.I.S.T.
 Monograph 175
 Revised to ITS-90

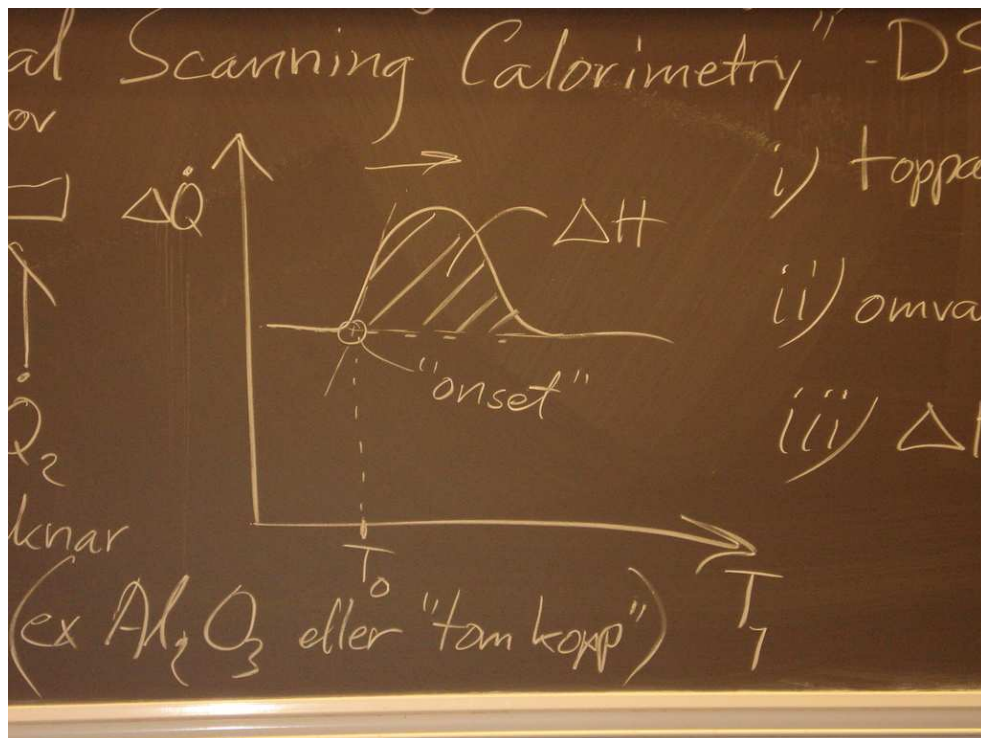
| Extension Grade | 0 | 10 | 20 | 30 | 40 | 50 | 60 | 70 | 80 | 90 | 100 | 110 | 120 | 130 | 140 | 150 | 160 | 170 | 180 | 190 | 200 | |
|-----------------|--------|--------|--------|--------|--------|--------|--------|--------|--------|--------|--------|--------|--------|--------|--------|--------|--------|--------|--------|--------|--------|--------|
| -40 | -1.889 | -1.854 | -1.818 | -1.782 | -1.745 | -1.709 | -1.673 | -1.637 | -1.600 | -1.564 | -1.527 | -1.490 | -1.453 | -1.417 | -1.380 | -1.343 | -1.306 | -1.269 | -1.231 | -1.194 | -1.156 | -1.119 |
| -30 | -1.527 | -1.490 | -1.453 | -1.417 | -1.380 | -1.343 | -1.306 | -1.269 | -1.231 | -1.194 | -1.156 | -1.119 | -1.081 | -1.043 | -1.005 | -0.968 | -0.930 | -0.892 | -0.854 | -0.816 | -0.778 | -0.740 |
| -20 | -1.156 | -1.119 | -1.081 | -1.043 | -1.005 | -0.968 | -0.930 | -0.892 | -0.854 | -0.816 | -0.778 | -0.740 | -0.702 | -0.664 | -0.626 | -0.588 | -0.550 | -0.512 | -0.474 | -0.436 | -0.398 | -0.360 |
| -10 | -0.778 | -0.739 | -0.701 | -0.663 | -0.624 | -0.586 | -0.547 | -0.508 | -0.470 | -0.431 | -0.392 | -0.353 | -0.314 | -0.275 | -0.236 | -0.197 | -0.157 | -0.118 | -0.079 | -0.039 | 0.000 | 0.060 |
| 0 | 0.392 | 0.353 | 0.314 | 0.275 | 0.236 | 0.197 | 0.157 | 0.118 | 0.079 | 0.039 | 0.000 | 0.060 | 0.120 | 0.180 | 0.240 | 0.300 | 0.360 | 0.420 | 0.480 | 0.540 | 0.600 | 0.660 |
| 10 | 0.000 | 0.039 | 0.079 | 0.119 | 0.158 | 0.198 | 0.238 | 0.277 | 0.317 | 0.357 | 0.397 | 0.436 | 0.475 | 0.514 | 0.553 | 0.592 | 0.631 | 0.670 | 0.709 | 0.748 | 0.787 | 0.826 |
| 20 | 0.397 | 0.437 | 0.477 | 0.517 | 0.557 | 0.597 | 0.637 | 0.677 | 0.718 | 0.758 | 0.798 | 0.838 | 0.878 | 0.918 | 0.958 | 0.998 | 1.038 | 1.078 | 1.118 | 1.158 | 1.198 | 1.238 |
| 30 | 0.798 | 0.838 | 0.879 | 0.919 | 0.959 | 1.000 | 1.041 | 1.081 | 1.122 | 1.163 | 1.203 | 1.244 | 1.284 | 1.325 | 1.365 | 1.406 | 1.446 | 1.487 | 1.527 | 1.568 | 1.608 | 1.649 |
| 40 | 1.203 | 1.244 | 1.285 | 1.326 | 1.366 | 1.407 | 1.448 | 1.489 | 1.530 | 1.571 | 1.612 | 1.653 | 1.694 | 1.735 | 1.776 | 1.817 | 1.858 | 1.899 | 1.941 | 1.982 | 2.023 | 2.064 |
| 50 | 1.612 | 1.653 | 1.694 | 1.735 | 1.776 | 1.817 | 1.858 | 1.899 | 1.941 | 1.982 | 2.023 | 2.064 | 2.105 | 2.146 | 2.187 | 2.228 | 2.269 | 2.310 | 2.351 | 2.392 | 2.433 | 2.474 |
| 60 | 2.023 | 2.064 | 2.105 | 2.146 | 2.187 | 2.228 | 2.269 | 2.310 | 2.351 | 2.392 | 2.433 | 2.474 | 2.515 | 2.556 | 2.597 | 2.638 | 2.679 | 2.720 | 2.761 | 2.802 | 2.843 | 2.884 |
| 70 | 2.436 | 2.478 | 2.519 | 2.561 | 2.602 | 2.644 | 2.685 | 2.727 | 2.768 | 2.810 | 2.851 | 2.892 | 2.933 | 2.974 | 3.015 | 3.056 | 3.097 | 3.138 | 3.179 | 3.220 | 3.261 | 3.302 |
| 80 | 2.851 | 2.893 | 2.934 | 2.975 | 3.017 | 3.058 | 3.100 | 3.142 | 3.184 | 3.225 | 3.267 | 3.308 | 3.349 | 3.390 | 3.431 | 3.472 | 3.513 | 3.554 | 3.595 | 3.636 | 3.677 | 3.718 |
| 90 | 3.267 | 3.308 | 3.350 | 3.391 | 3.433 | 3.474 | 3.516 | 3.557 | 3.599 | 3.640 | 3.681 | 3.722 | 3.763 | 3.804 | 3.845 | 3.886 | 3.927 | 3.968 | 4.009 | 4.050 | 4.091 | 4.132 |
| 100 | 3.682 | 3.723 | 3.765 | 3.806 | 3.848 | 3.889 | 3.931 | 3.972 | 4.013 | 4.055 | 4.096 | 4.137 | 4.178 | 4.219 | 4.260 | 4.301 | 4.342 | 4.383 | 4.424 | 4.465 | 4.506 | 4.547 |
| 110 | 4.099 | 4.138 | 4.179 | 4.220 | 4.261 | 4.303 | 4.344 | 4.385 | 4.427 | 4.468 | 4.509 | 4.550 | 4.591 | 4.632 | 4.673 | 4.714 | 4.755 | 4.796 | 4.837 | 4.878 | 4.919 | 4.960 |
| 120 | 4.509 | 4.550 | 4.591 | 4.633 | 4.674 | 4.715 | 4.756 | 4.797 | 4.838 | 4.879 | 4.920 | 4.961 | 4.999 | 5.041 | 5.082 | 5.123 | 5.164 | 5.205 | 5.246 | 5.287 | 5.328 | 5.369 |
| 130 | 4.920 | 4.961 | 5.002 | 5.043 | 5.084 | 5.124 | 5.165 | 5.206 | 5.247 | 5.288 | 5.329 | 5.370 | 5.411 | 5.452 | 5.493 | 5.534 | 5.575 | 5.616 | 5.657 | 5.698 | 5.739 | 5.780 |
| 140 | 5.328 | 5.369 | 5.410 | 5.450 | 5.491 | 5.532 | 5.573 | 5.614 | 5.655 | 5.696 | 5.737 | 5.778 | 5.819 | 5.860 | 5.901 | 5.942 | 5.983 | 6.024 | 6.065 | 6.106 | 6.147 | 6.188 |
| 150 | 5.735 | 5.775 | 5.815 | 5.856 | 5.896 | 5.937 | 5.978 | 6.019 | 6.060 | 6.101 | 6.142 | 6.183 | 6.224 | 6.265 | 6.306 | 6.347 | 6.388 | 6.429 | 6.470 | 6.511 | 6.552 | 6.593 |
| 160 | 6.138 | 6.179 | 6.219 | 6.259 | 6.299 | 6.339 | 6.380 | 6.420 | 6.460 | 6.501 | 6.541 | 6.582 | 6.622 | 6.663 | 6.703 | 6.744 | 6.784 | 6.825 | 6.865 | 6.906 | 6.946 | 6.987 |
| 170 | 6.540 | 6.580 | 6.620 | 6.660 | 6.701 | 6.741 | 6.781 | 6.821 | 6.861 | 6.901 | 6.941 | 6.981 | 7.021 | 7.061 | 7.101 | 7.141 | 7.181 | 7.221 | 7.261 | 7.301 | 7.341 | 7.381 |
| 180 | 6.941 | 6.981 | 7.021 | 7.061 | 7.101 | 7.141 | 7.181 | 7.221 | 7.261 | 7.301 | 7.341 | 7.381 | 7.421 | 7.461 | 7.501 | 7.541 | 7.581 | 7.621 | 7.661 | 7.701 | 7.741 | 7.781 |
| 190 | 7.342 | 7.382 | 7.422 | 7.462 | 7.502 | 7.542 | 7.582 | 7.622 | 7.662 | 7.702 | 7.742 | 7.782 | 7.822 | 7.862 | 7.902 | 7.942 | 7.982 | 8.022 | 8.062 | 8.102 | 8.142 | 8.182 |
| 200 | 7.743 | 7.783 | 7.823 | 7.863 | 7.903 | 7.943 | 7.983 | 8.023 | 8.063 | 8.103 | 8.143 | 8.183 | 8.223 | 8.263 | 8.303 | 8.343 | 8.383 | 8.423 | 8.463 | 8.503 | 8.543 | 8.583 |



“Convert Thermocouple Reading” (Labview).

Uppgift 1: Fasomvandlingar — Värmelagring

- Differential Scanning Calorimetry — DSC (fig3)



Figur 3.

Referensmaterialet saknar fasomvandlingar (ex. Al_2O_3 eller "tom kopp")

i) toppar $\hat{=}$ fasomvandlingar (fast-fast, smältning)

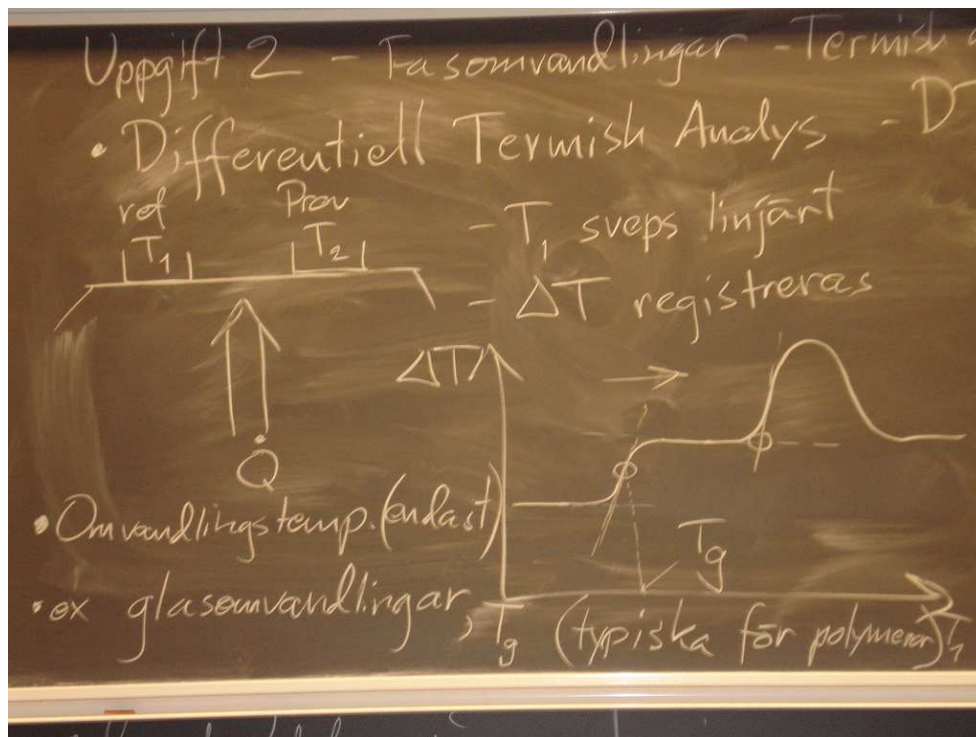
ii) omvandlingstemperatur = "onset".

iii) ΔH = omvandlingsentalpin.

- Stor ΔH vid lämplig temperatur $T \Rightarrow$ Värmelager
- ΔH och T_{fas} kan påverkas (kemiskt/fysikaliskt)

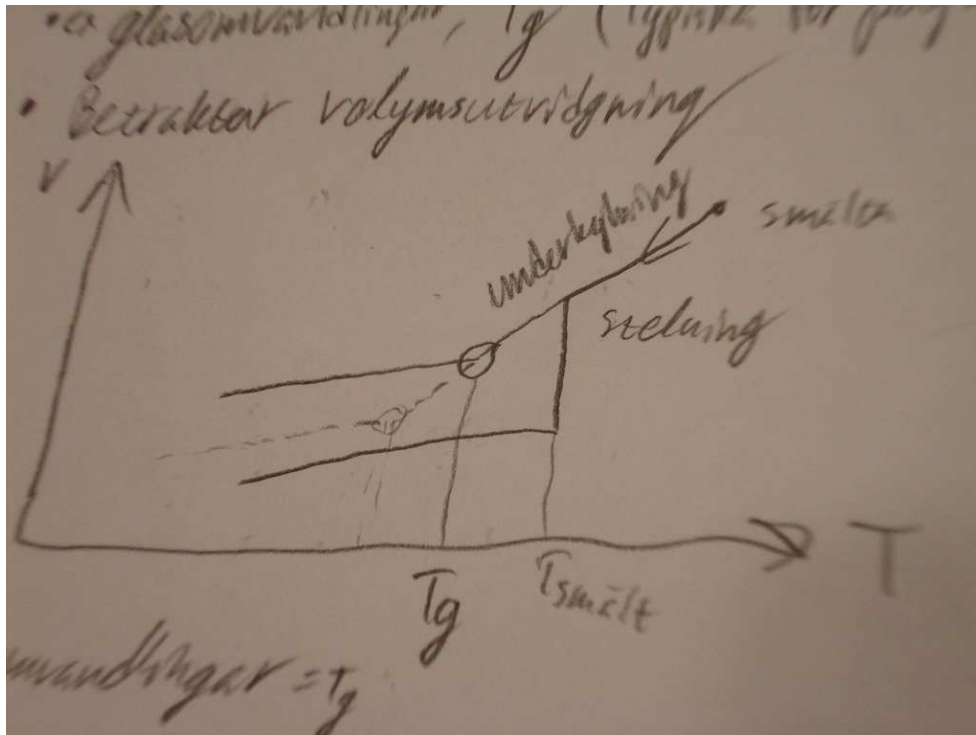
Uppgift 2: Fasomvandlingar — Termisk analys

- Differentiell termisk analys — DTA. (fig4)



Figur 4.

- T_1 sveps linjärt
- ΔT registreras
- Omvandlingstemperatur (endast).
- Ex. glasomvandlingar, T_g (typiska för polymerer).
- Betraktar volymsutvidgning. (fig5)

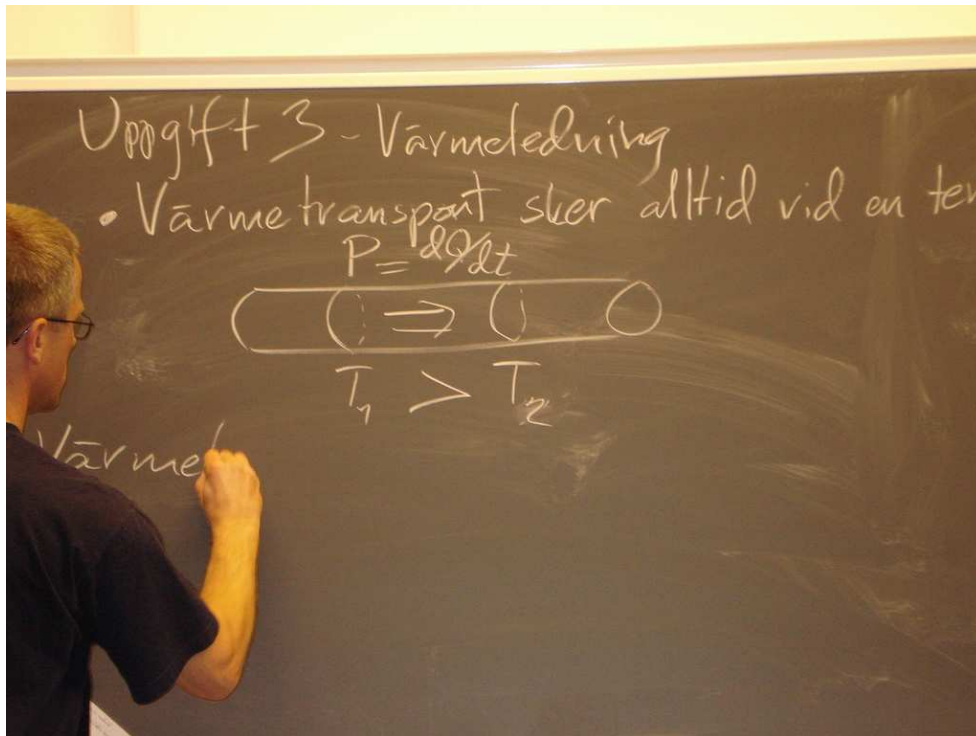


Figur 5.

- Glasomvandlingar: T_g . Dock ingen ΔH .
- Studera T_g : Kryokonservering — nedkylning av organ. Isbildning förstör organ. Inblandning av alkoholer/glykol/glycerol. \Rightarrow Glasomvandling.

Uppgift 3: Värmeledning

- Värmetransport sker alltid vid en temperatur-gradient. (fig6)



Figur 6. $T_1 > T_2$

Värmeledningsekvationen:

$$\frac{\partial T}{\partial t} = a \frac{\partial^2 T}{\partial x^2}$$

- Endimensionella problem: halvoändlig stav. Pumpar in värme med en effekt $P(t)$ i ena änden (enda änden).

— Termisk jämvikt:

$$\frac{\partial^2 T}{\partial x^2} = 0$$

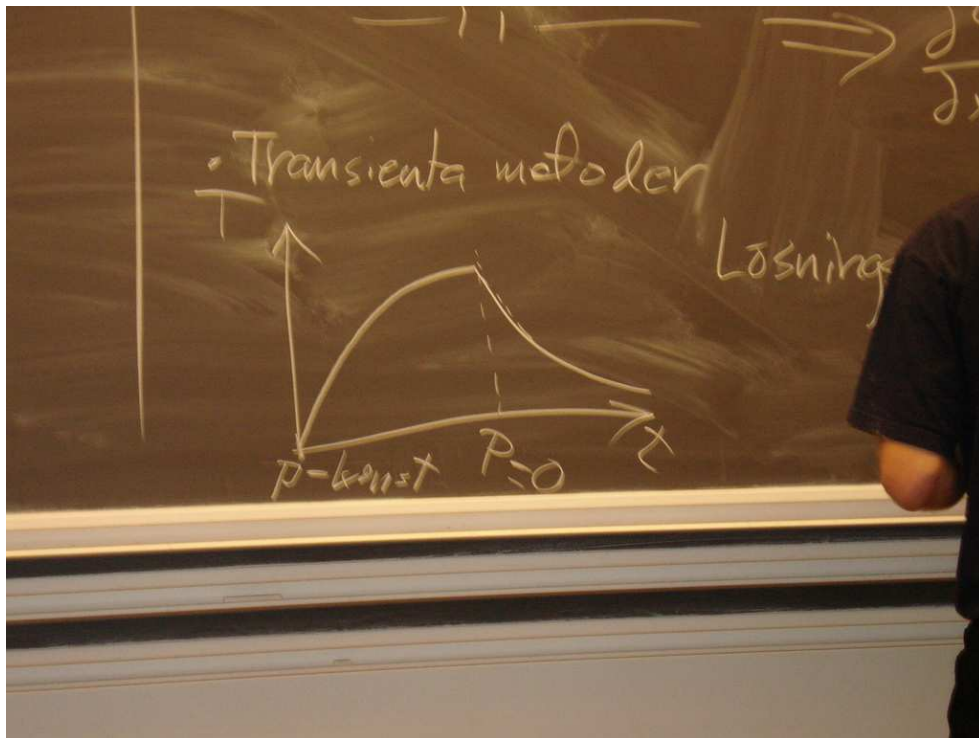
(inga förluster via mantelytan).

— Om staven avger värme längsmed sin yta:

$$\frac{\partial^2 T}{\partial x^2} = AT$$

(förluster!)

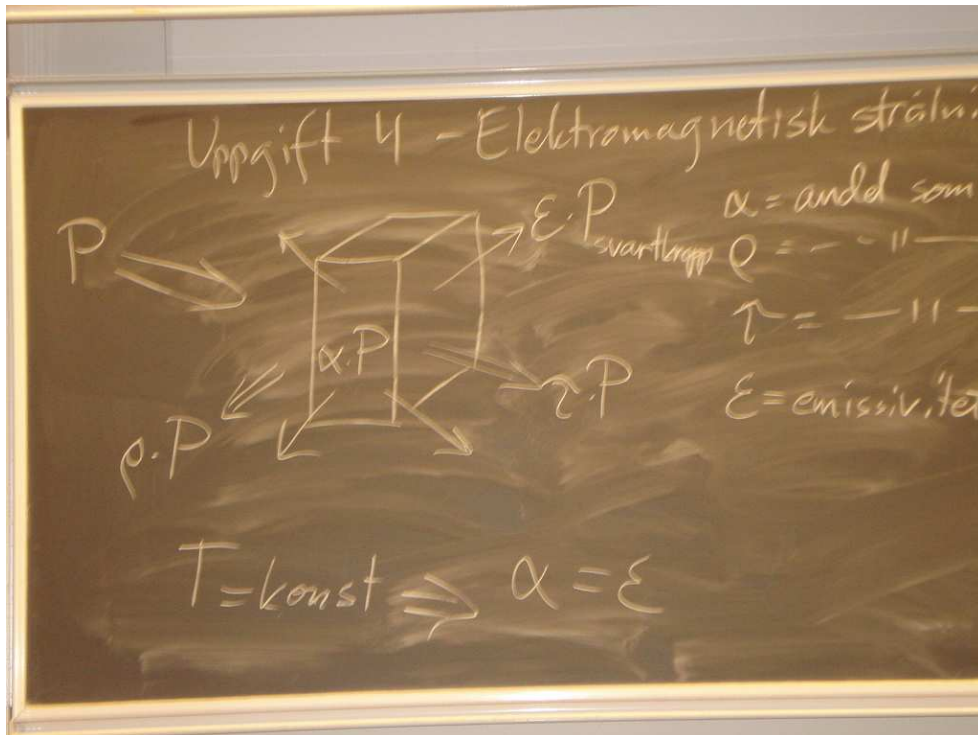
— Transienta metoder: (fig7)



Figur 7.

Lösningsform: $T = A + B e^{-Ct}$

Uppgift 4: Elektromagnetisk strålning



Figur 8.

$$\alpha + \rho + \tau = 1 \quad \text{där} \quad \begin{cases} \alpha = \text{andel som absorberas} \\ \rho = \text{andel som reflekteras} \\ \tau = \text{andel som transmitteras} \\ \epsilon = \text{emissivitet} \end{cases}$$

$T = \text{konstant} \Rightarrow \alpha = \epsilon.$

- Spektralt selektiva ytor (solfångarytor): $\alpha(\lambda_1) \neq \epsilon(\lambda_2)$. Dock gäller $\int_0^\infty \alpha d\lambda = \int_0^\infty \epsilon d\lambda$.
- Solstrålning (svartkropp - 6000°C): $\lambda \approx 0,3 - 2 \mu\text{m}$.

svartkropp på 200°C: $\lambda \approx 2 - 20 \mu\text{m}$.

Solfångare $\alpha|_{\lambda \approx 0,3-2 \mu\text{m}} \approx 1$, $\epsilon|_{\lambda \approx 2-20 \mu\text{m}} = 0$.